

Minimum Concurrency for Assembling Computer Music

Carlos Eduardo Marciano

Presenter

Abilio Lucena

Felipe M. G. França

Luidi G. Simonetti

Systems and Computing Engineering Program
Federal University of Rio de Janeiro (UFRJ)

INOC 2019

`cemarciano@poli.ufrj.br`

Roadmap

- 1 Introduction
- 2 SER
- 3 Minimum Concurrency
- 4 Musical Application
- 5 Conclusion

Motivation

- The Dining Philosophers:
proposed by *Edsger Dijkstra*
in 1965 to illustrate
deadlocks, starvation and
race condition.
- Variant with two states:
“*eating*” (consuming
resources) or “*hungry*”
(ready to eat).

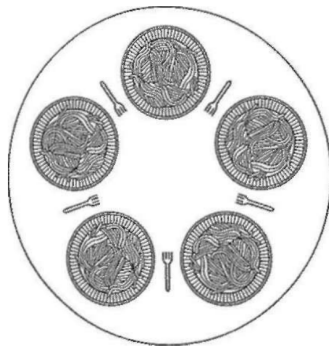


Figure 1:
The Dining Philosophers [1].

Resource Graph

- Nodes represent **processes** to be scheduled.
- Edges represent **shared resources** between two nodes.
- How to schedule nodes in order to **attain justice** and prevent classic scheduling problems?

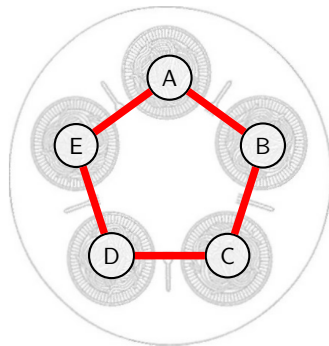


Figure 2: Resource Graph for the *Dining Philosophers*.

Scheduling by Edge Reversal (*SER*)

- Distributed solution for heavily loaded neighborhood-constrained systems.
- Acyclic orientation: *sinks* operate simultaneously and revert their edges, forming new *sinks*.
- Justice: all nodes operate the same number of times within a period.

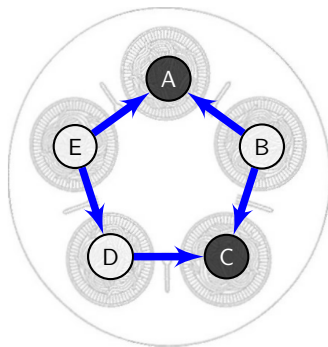
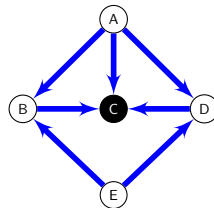
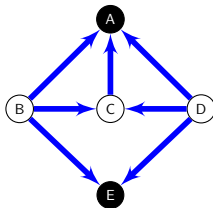
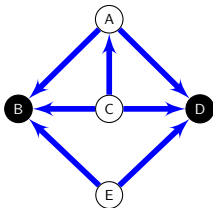
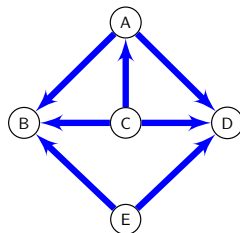
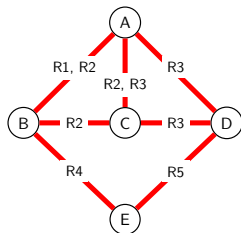
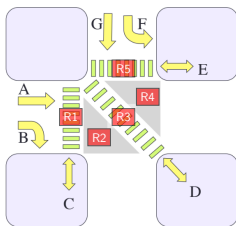


Figure 3: DAG representing the *Dining Philosophers*.

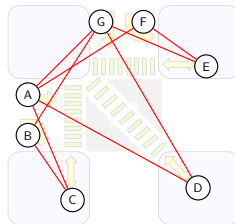
SER Example



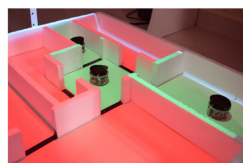
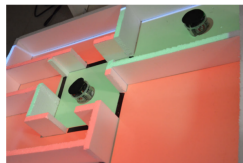
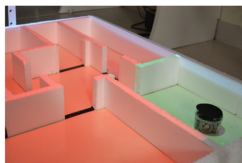
Applications



(d) Road junctions [2].



(e) AGV Routing [3].

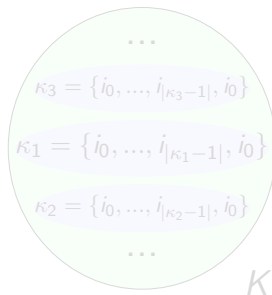


(f) Firefighting by autonomous robots [4].

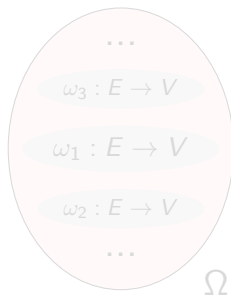
Figure 4: SER applications.

Definitions

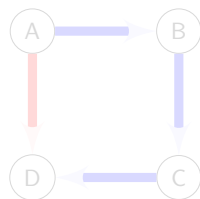
Simple Cycle



Acyclic Orientation



Direction of Orientation

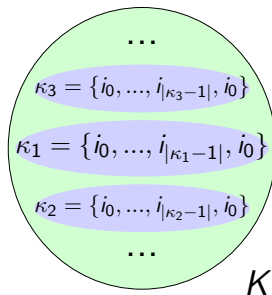


$$n_{CW}(\kappa, \omega) = 3$$

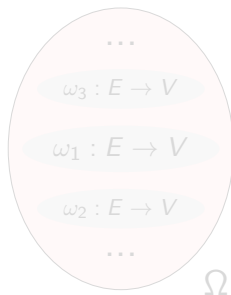
$$n_{CCW}(\kappa, \omega) = 1$$

Definitions

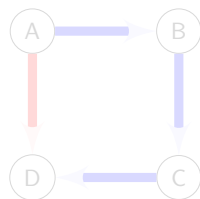
Simple Cycle



Acyclic Orientation



Direction of Orientation

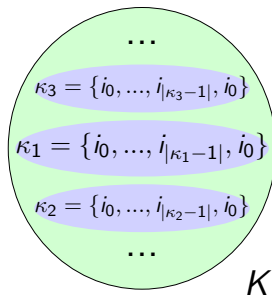


$$n_{CW}(\kappa, \omega) = 3$$

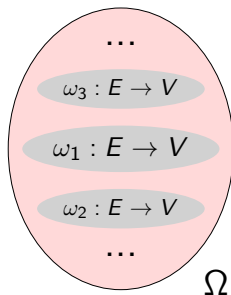
$$n_{CCW}(\kappa, \omega) = 1$$

Definitions

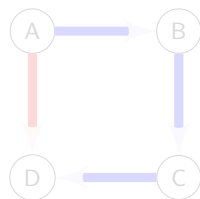
Simple Cycle



Acyclic Orientation



Direction of Orientation

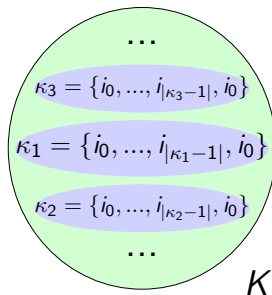


$$n_{CW}(\kappa, \omega) = 3$$

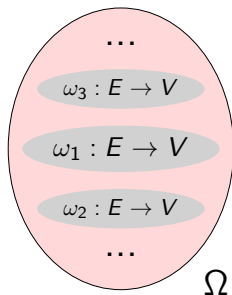
$$n_{CCW}(\kappa, \omega) = 1$$

Definitions

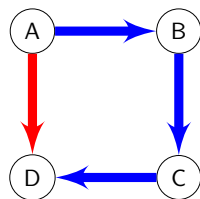
Simple Cycle



Acyclic Orientation



Direction of Orientation

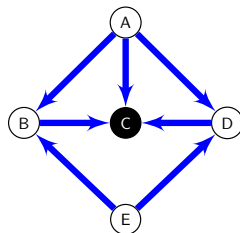
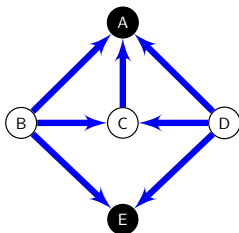
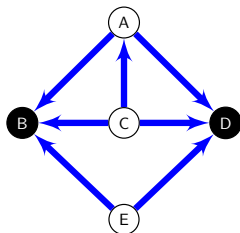


$$n_{CW}(\kappa, \omega) = 3$$

$$n_{CCW}(\kappa, \omega) = 1$$

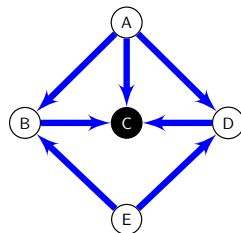
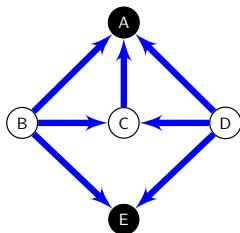
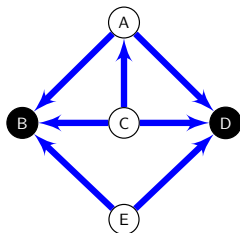
SER Concurrency ($\gamma : \Omega \rightarrow \mathbb{R}$), dynamic definition

$$\gamma(\omega) = \frac{m}{p}$$



SER Concurrency ($\gamma : \Omega \rightarrow \mathbb{R}$), static definition

$$\gamma(\omega) = \min_{\kappa \in K} \left\{ \frac{\min \{n_{cw}(\kappa, \omega), n_{ccw}(\kappa, \omega)\}}{|\kappa|} \right\}$$



Roadmap

1 Introduction

2 SER

3 Minimum Concurrency

4 Musical Application

5 Conclusion

Concorrência Mínima via Ciclos Máximos (1)

- NP-Completo [5]: Minimizar $\gamma(\omega)$ sobre todo o conjunto Ω :

$$\gamma^* = \min_{\omega \in \Omega} \left\{ \min_{\kappa \in K} \left\{ \frac{\min \{n_{cw}(\kappa, \omega), n_{ccw}(\kappa, \omega)\}}{|\kappa|} \right\} \right\} \quad (1)$$

Concorrência Mínima via Ciclos Máximos (1)

- NP-Completo [5]: Minimizar $\gamma(\omega)$ sobre todo o conjunto Ω :

$$\gamma^* = \min_{\omega \in \Omega} \left\{ \min_{\kappa \in K} \left\{ \frac{\min \{n_{cw}(\kappa, \omega), n_{ccw}(\kappa, \omega)\}}{|\kappa|} \right\} \right\} \quad (1)$$

Lema 1

$$\gamma^* = \min_{\kappa \in K} \left\{ \frac{1}{|\kappa|} \right\}$$

Concorrência Mínima via Ciclos Máximos (1)

- NP-Completo [5]: Minimizar $\gamma(\omega)$ sobre todo o conjunto Ω :

$$\gamma^* = \min_{\omega \in \Omega} \left\{ \min_{\kappa \in K} \left\{ \frac{\min \{n_{cw}(\kappa, \omega), n_{ccw}(\kappa, \omega)\}}{|\kappa|} \right\} \right\} \quad (1)$$

Lema 1

$$\gamma^* = \min_{\kappa \in K} \left\{ \frac{1}{|\kappa|} \right\}$$

Demonstração

Relembre a definição de concorrência: $\gamma(\omega) = \min_{\kappa \in K} \left\{ \frac{\min \{n_{cw}(\kappa, \omega), n_{ccw}(\kappa, \omega)\}}{|\kappa|} \right\}$.

Para um dado ω' , seja κ' o ciclo escolhido pelo minimizador da definição de concorrência. Seja $x = \min \{n_{cw}(\kappa', \omega'), n_{ccw}(\kappa', \omega')\}$. Logo, temos

$$\gamma(\omega) = x/|\kappa'|.$$

1/3

Concorrência Mínima via Ciclos Máximos (1)

- NP-Completo [5]: Minimizar $\gamma(\omega)$ sobre todo o conjunto Ω :

$$\gamma^* = \min_{\omega \in \Omega} \left\{ \min_{\kappa \in K} \left\{ \frac{\min \{n_{cw}(\kappa, \omega), n_{ccw}(\kappa, \omega)\}}{|\kappa|} \right\} \right\} \quad (1)$$

Lema 1

$$\gamma^* = \min_{\kappa \in K} \left\{ \frac{1}{|\kappa|} \right\}$$

Demonstração

Porém, para qualquer ciclo $\kappa \in K$, é possível orientar κ com algum $\omega \in \Omega$ de forma que $n_{cw}(\kappa, \omega) = 1$ e $n_{ccw}(\kappa, \omega) = |\kappa| - 1$, ou vice-versa. Logo, se ω' , aplicado a κ' , não produziu o valor $x = 1$, haverá outra orientação $\omega \in \Omega$ que produzirá $\gamma(\omega) = 1/|\kappa'|$.

2/3

Concorrência Mínima via Ciclos Máximos (1)

- NP-Completo [5]: Minimizar $\gamma(\omega)$ sobre todo o conjunto Ω :

$$\gamma^* = \min_{\omega \in \Omega} \left\{ \min_{\kappa \in K} \left\{ \frac{\min \{n_{cw}(\kappa, \omega), n_{ccw}(\kappa, \omega)\}}{|\kappa|} \right\} \right\} \quad (1)$$

Lema 1

$$\gamma^* = \min_{\kappa \in K} \left\{ \frac{1}{|\kappa|} \right\}$$

Demonstração

Suponha que γ^* , a concorrência mínima de G , seja menor que $1/|\kappa'|$. Se isto for verdade, deverá existir um ciclo κ^* que, sob alguma orientação ω^* , produzirá $1/|\kappa^*| < 1/|\kappa'|$. Logo, encontrar γ^* tornou-se um problema de minimização sobre todo $\kappa \in K$. □

Concorrência Mínima via Ciclos Máximos (2)

- Resta encontrar ω^* tal que $\gamma^* = \gamma(\omega^*)$.

Concorrência Mínima via Ciclos Máximos (2)

- Resta encontrar ω^* tal que $\gamma^* = \gamma(\omega^*)$.

Teorema 1

Dado qualquer ciclo máximo $\kappa^* \in K$ como entrada, existe um algoritmo de complexidade linear para encontrar uma orientação $\omega^* \in \Omega$ tal que $\gamma(\omega^*)$ é mínimo para todo $\omega \in \Omega$.

Concorrência Mínima via Ciclos Máximos (2)

- Resta encontrar ω^* tal que $\gamma^* = \gamma(\omega^*)$.

Teorema 1

Dado qualquer ciclo máximo $\kappa^* \in K$ como entrada, existe um algoritmo de complexidade linear para encontrar uma orientação $\omega^* \in \Omega$ tal que $\gamma(\omega^*)$ é mínimo para todo $\omega \in \Omega$.

Demonstração

Pela prova do Lema 1, para atingir γ^* , deve-se orientar κ^* tal que $n_{cw}(\kappa^*, \omega^*) = 1$ e $n_{ccw}(\kappa^*, \omega^*) = |\kappa^*| - 1$ (ou vice-versa). Isto pode ser realizado em tempo linear ao percorrermos o ciclo κ^* e atribuímos um número de identificação crescente $1, \dots, |\kappa^*|$ para cada vértice visitado, resultando em uma ordenação topológica do ciclo. Por fim, orienta-se as arestas no sentido dos vértices de maior identificador, cumprindo o requisito.

1/2

Concorrência Mínima via Ciclos Máximos (2)

- Resta encontrar ω^* tal que $\gamma^* = \gamma(\omega^*)$.

Teorema 1

Dado qualquer ciclo máximo $\kappa^* \in K$ como entrada, existe um algoritmo de complexidade linear para encontrar uma orientação $\omega^* \in \Omega$ tal que $\gamma(\omega^*)$ é mínimo para todo $\omega \in \Omega$.

Demonstração

Resta orientar os demais vértices de G tal que ω^* sempre será de fato acíclica. Seja $S = V - \kappa^*$ o conjunto dos vértices restantes de G . Atribui-se um número de identificação crescente $|\kappa^*| + 1, \dots, |V|$ para cada vértice em S , e então orienta-se todas as arestas de G na direção dos vértices com maior identificador. Por absurdo, se ω^* possuir ciclos, existirá um caminho direcionado i_0, i_1, \dots, i_0 . No entanto, como $id[i_0] > id[i_1]$, é impossível retornar a i_0 após a partida, para qualquer $i_0 \in V$. Portanto, nenhum ciclo será formado. \square

Experimental Results

- *Simple Cycle Problem model* from Lucena et al. [6]:

Nodes	p	Avg. Edges	Solved	Avg. Min. Conc.	CPU Time (s)
200	0.01	391	10	1/178	0.6 (\pm 0.9)
200	0.1	3 780	10	1/200	6.5 (\pm 7.3)
1000	0.002	2 062	10	1/905	73.2 (\pm 51.4)
1000	0.02	19 695	10	1/1000	797.0 (\pm 547.3)
1000	0.2	179 806	3	1/1000	2 619.9 (\pm 1 015.0)
2000	0.001	4 091	10	1/1805	425.9 (\pm 371.3)
2000	0.01	39 807	3	1/2000	2 107.9 (\pm 1 561.5)
2000	0.1	380 199	0	—	—

Table 1: Experiments for finding minimum concurrency of random graphs $G(n,p)$.

Roadmap

1 Introduction

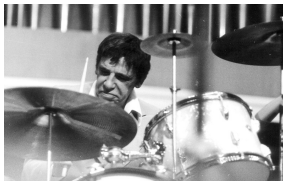
2 SER

3 Minimum Concurrency

4 Musical Application

5 Conclusion

Musical Context



(e) Buddy Rich, jazz.



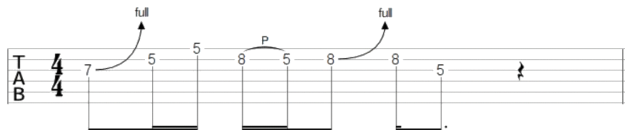
(f) Joe Bonamassa, blues.

- **Computer generation of melody** has been studied since the early 1950's [7].
- Two approaches: explicit (in which **composition rules are specified by humans**) and implicit [8].
- Western music: features *counterpoint* (or *polyphony*), with **multiple melodic voices** [9].

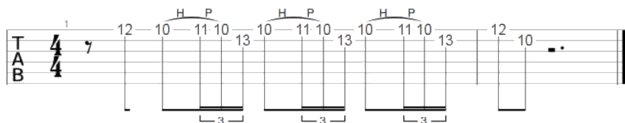
Figure 5: Virtuosos (*Creative Commons*).

Musical Phrases

- In *blues*, *jazz* and *rock* music, it's common to exist a “question/answer” dynamic with musical phrases:



(a) Antecedent phrase.



(b) Consequent phrase.

Figure 6: Examples of music tablature [10].

Assembling Maximum-length Tracks

- We'd like our model to capture the following restrictions:
 - A *consequent* phrase **may only be played** after an *antecedent* phrase, forming a *lick*;
 - Only phrases of the same type (*antecedent* or *consequent*) may be **played simultaneously**;
 - Phrases of **different intensities** (e.g. note counts) may not go well together;
 - The final composition must be a *loop*, include all phrases and be of **maximum length**.

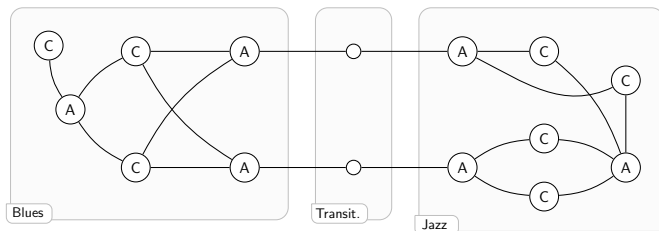
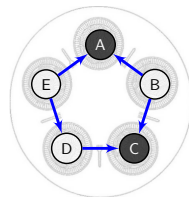


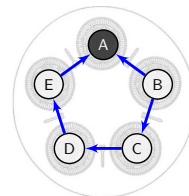
Figure 7: Modelling example.

Conclusion

- Contributions: computational strategy for **obtaining minimum concurrency** and new approach for **creating musical tracks**.
- The *MIDI* standard: **hour-long tracks** and potential source of inspiration for artists.
- Future work: computational model for **maximum concurrency** under *SER*; investigate octave information for better-quality polyphony.



(a) Maximum concurrency.



(b) Minimum concurrency.

Figure 8: Extreme concurrencies.

Closure

Thank you!

Questions & Answers

This presentation is available in PDF format at:

<https://tinyurl.com/inoc2019-32>

Bibliography I

- [1] TANENBAUM, A. S., *Modern Operating Systems*.
3rd ed., pp. 143–165.
Upper Saddle River, NJ, USA: Pearson Prentice Hall, 2007.
- [2] CARVALHO, D., PROTTI, F., DE GREGORIO, M., et al., “A Novel Distributed Scheduling Algorithm for Resource Sharing Under Near-Heavy Load”, *Lecture Notes in Computer Science*, v. 3544, pp. 431–442, 2004.
- [3] LENGGERKE, O., ACUÑA, H. G., DUTRA, M. S., et al., “Distributed control of job-shop systems via edge reversal dynamics for automated guided vehicles”, *1st International Conference on Intelligent Systems and Applications*, pp. 25–30, 2012.
- [4] ALVES, D. S. F., SOARES, E. E., STRACHAN, G. C., et al., *A Swarm Robotics Approach to Decontamination. In: Mobile Ad Hoc Robots and Wireless Robotic Systems: Design and Implementation*.
1st ed., pp. 107–122.
Hershey, PA, USA: IGI Publishing Hershey, 2012.
- [5] ARANTES JR, G. M., *Trilhas, Otimização de Concorrência e Inicialização Probabilística em Sistemas sob Reversão de Arestas*, Ph.D. Thesis, Prog. de Eng. de Sist. e Comp., Univ. Fed. do Rio de Janeiro, 2006.
- [6] LUCENA, A., DA CUNHA, A. S., SIMONETTI, L., “A New Formulation and Computational Results for the Simple Cycle Problem”, *Electronic Notes in Discrete Mathematics*, v. 44, no. 5, pp. 83–88, 2013.

Bibliography II

- [7] NIERHAUS, G., *Algorithmic Composition: Paradigms of Automated Music Generation*. Springer-Verlag: Vienna, Austria, 2009.
- [8] SHAN, M.-K., CHIU, S.-C., "Algorithmic compositions based on discovered musical patterns", *Multimedia Tools and Applications*, v. 46, n. 1, pp. 1–23, Jan. 2010.
- [9] SCHMIDT-JONES, C., *Understanding Basic Music Theory*. OpenStax CNX: Houston, TX, USA, 2007.
- [10] BELL, J., *144 Blues Guitar Licks*. JamString: East Midlands, UK, 2015, mobile application. Version 15.41942290.